

防波堤法線計画と港内静穏度の実施例

四国建設コンサルタント株式会社

同 上

正会員 ○植田勇二

正会員 天羽誠二

1. まえがき： 防波堤は港外の激しい波から港内の静穏を確保するために設けられる港の外郭施設である。防波堤の配置は港内の係留水域、操船水域、航路水域等の船舶の利用面からも制約を受ける。防波堤計画に際しては、波からの防波機能と船舶の利用面を考慮した適切な法線計画が望まれる。ここで取り上げる龜浦港は鳴門市大毛島の北端に位置した瀬戸内海播磨灘に面する港湾で、播磨灘海域で発生するN方向の波が来襲している。このN方向からの波によって港内の静穏度が著しく低下し、船舶の就航に支障を来たしていた。この問題に対し、港内静穏度を高めるための対策が必要となり、昭和56年度に龜浦港改修工事の一環として防波堤延長計画とともに実施設計を行なった。本論文では、当業務の防波堤計画の部分をとりまとめ報告する。

2. 波浪推算： 龜浦港は図-1に示すように播磨灘に面しており、N～NE方向からの波が入射するものと予想される。対象地點周辺では波浪観測がなされていないため、沖波は風記録を基に推算し、龜浦港へ来襲する波の波向別波高出現頻度を算定する。風資料は沖波推算の基礎データとなることから、できるだけ海上風を正確にとらえ、かつ当港への波向（風向）もわかるもうとして、隣接地の門崎観測所（本四公團鳴門工事事務所）の風資料を選んだ。計算期間は昭和51年4月～昭和56年3月の5年間で設定した。この間に毎時風速データを海上風に換算し、SHIB法にて沖波推算を行ない、5年間の波向別波高出現頻度を算定した。通年及び冬期の波向別波高出現頻度を表-1(a)、表-1(b)に示す。波高は0.25m～3.0mに分布し、特に1.0m以下が90%を占め、波向は地形的な制約と吹送距離の関係からN方向に集中している。波の周期は波高に比例した傾向を示し、2.0sec～6.0secに分布している。港内静穏度の対象となる波高0.75m以上の大波に関しては、9.0sec～5.0secの周期が最も多く出現している。なお、沖波が防波堤開口部へ来襲して来る間に波の変形としては、屈折の影響が考えられるが、屈折計算を行なった結果、港の前面海域の水深が-20mであることから屈折による波高変化及ぶ波向変化はほとんどなく、沖波が入射していくことがわかった。したがって、沖波諸元を開口部へ入射する諸元として用いたこととした。

3. 港内静穏度解析： 平面波 $\exp(i\phi \cos \theta)$ が入射したとき、单一隅角周辺の波の解は次式で与えられる。

$$f(\rho, \theta) = \frac{Z\pi}{2\pi - \nu} \sum_{n=0}^{\infty} E_n \cos \frac{n\pi\theta}{2\pi - \nu} \cos \frac{n\pi\alpha}{2\pi - \nu} \exp\left(\frac{i\pi}{Z} \cdot \frac{n\pi}{2\pi - \nu}\right) J_{\frac{n\pi}{2\pi - \nu}}(\rho) \quad \cdots \cdots (1)$$

ここに、 $E_n = 1$ ($n=0$)、 Z ($n \neq 0$)、 (ρ, θ) : 計算地點の極座標、 α : 入射角、 ν : 頂角、 $\rho = R r$

上式を入射反射波の幾何光学的波と散乱波に分離した近似解¹⁾を基礎式とした。そして、現地の港内形状及び港の不規則性を考慮するため、次の手順を用いた。

・複合隅角周辺の規則波は单一隅角周辺の解を重ね合わせる。

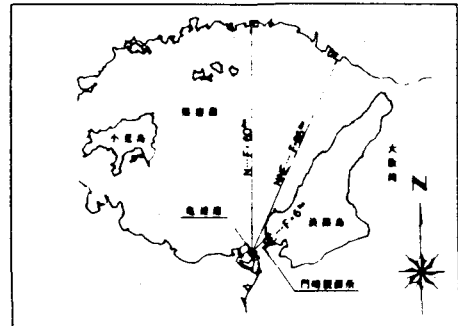


図-1 位置図

	N	NNW	NW
H=0.25m以下	704	461	120
0.50 "	876	387	127
0.75 "	1008	416	133
1.00 "	1089	438	136
1.50 "	1188	488	144
2.00 "	1211	489	149
2.50 "	1317	460	142
3.00 "	1319	460	142

昭和51年4月～昭和56年3月

表-1 (a) 波向別波高出現頻度(冬期)

	N	NNW	NW
H=0.25m以下	51	60	30
0.50 "	111	81	81
0.75 "	177	96	88
1.00 "	228	105	98
1.50 "	266	118	102
2.00 "	303	128	112
2.50 "	304	128	112
3.00 "	305	128	112

昭和51年～昭和56年冬期(12月～3月)

・不規則波については周期及び波向について分割したりくつかの成分波に分ける。個々の成分波を規則波として、(1)式にて港内波高を算定する。そして、各成分波の波高をエネルギー的に合成し不規則波の波高とする。

$$\text{不規則波の波高比} = \sqrt{\sum(\text{成分波の波高比})^2} \times (\text{成分波のエネルギー割合})$$

本計算では、周期：3分割、波向：5分割とし、代表波の周期は波高と周期の関係より頻度を基に $T=4.0\text{sec}$ と定めた。

表-2 (a) 港内波高発生頻度(現況)

4. 港内波高の現状：開口部へ入射波高と波向は表-1に示すとおりで、N～NE方向の主方向波が考えられる。これら入射波データを静穏度解析することにより、港内波高とその頻度を算出することができる。港内及び防波堤の計算モデル形状は、現地の保養施設及び防波堤形状を忠実に反映したモデルとする。なお、反射率(K_r)は直立岸壁0.9、消波構造物0.5、自然海浜0.2、港内反射回数は3回として計算を行なった。

周波数帯	港内					周波数
	0~0.5m	0.5~1.0m	1.0~1.5m	1.5~2.0m	2.0~2.5m	
0.0~0.2	0.00	1.00	1.00	1.00	1.00	0.1
0.2~0.4	0.00	0.00	0.00	0.00	0.00	0.2
0.4~0.6	0.00	0.00	0.00	0.00	0.00	0.3
0.6~0.8	0.00	0.00	0.00	0.00	0.00	0.4
0.8~1.0	0.00	0.00	0.00	0.00	0.00	0.5
1.0~1.2	0.00	0.00	0.00	0.00	0.00	0.6
1.2~1.4	0.00	0.00	0.00	0.00	0.00	0.7
1.4~1.6	0.00	0.00	0.00	0.00	0.00	0.8
1.6~1.8	0.00	0.00	0.00	0.00	0.00	0.9
1.8~2.0	0.00	0.00	0.00	0.00	0.00	1.0
2.0~2.2	0.00	0.00	0.00	0.00	0.00	1.1
2.2~2.4	0.00	0.00	0.00	0.00	0.00	1.2
2.4~2.6	0.00	0.00	0.00	0.00	0.00	1.3
2.6~2.8	0.00	0.00	0.00	0.00	0.00	1.4
2.8~3.0	0.00	0.00	0.00	0.00	0.00	1.5
3.0~3.2	0.00	0.00	0.00	0.00	0.00	1.6
3.2~3.4	0.00	0.00	0.00	0.00	0.00	1.7
3.4~3.6	0.00	0.00	0.00	0.00	0.00	1.8
3.6~3.8	0.00	0.00	0.00	0.00	0.00	1.9
3.8~4.0	0.00	0.00	0.00	0.00	0.00	2.0
4.0~4.2	0.00	0.00	0.00	0.00	0.00	2.1
4.2~4.4	0.00	0.00	0.00	0.00	0.00	2.2
4.4~4.6	0.00	0.00	0.00	0.00	0.00	2.3
4.6~4.8	0.00	0.00	0.00	0.00	0.00	2.4
4.8~5.0	0.00	0.00	0.00	0.00	0.00	2.5
5.0~5.2	0.00	0.00	0.00	0.00	0.00	2.6
5.2~5.4	0.00	0.00	0.00	0.00	0.00	2.7
5.4~5.6	0.00	0.00	0.00	0.00	0.00	2.8
5.6~5.8	0.00	0.00	0.00	0.00	0.00	2.9
5.8~6.0	0.00	0.00	0.00	0.00	0.00	3.0
6.0~6.2	0.00	0.00	0.00	0.00	0.00	3.1
6.2~6.4	0.00	0.00	0.00	0.00	0.00	3.2
6.4~6.6	0.00	0.00	0.00	0.00	0.00	3.3
6.6~6.8	0.00	0.00	0.00	0.00	0.00	3.4
6.8~7.0	0.00	0.00	0.00	0.00	0.00	3.5
7.0~7.2	0.00	0.00	0.00	0.00	0.00	3.6
7.2~7.4	0.00	0.00	0.00	0.00	0.00	3.7
7.4~7.6	0.00	0.00	0.00	0.00	0.00	3.8
7.6~7.8	0.00	0.00	0.00	0.00	0.00	3.9
7.8~8.0	0.00	0.00	0.00	0.00	0.00	4.0
8.0~8.2	0.00	0.00	0.00	0.00	0.00	4.1
8.2~8.4	0.00	0.00	0.00	0.00	0.00	4.2
8.4~8.6	0.00	0.00	0.00	0.00	0.00	4.3
8.6~8.8	0.00	0.00	0.00	0.00	0.00	4.4
8.8~9.0	0.00	0.00	0.00	0.00	0.00	4.5
9.0~9.2	0.00	0.00	0.00	0.00	0.00	4.6
9.2~9.4	0.00	0.00	0.00	0.00	0.00	4.7
9.4~9.6	0.00	0.00	0.00	0.00	0.00	4.8
9.6~9.8	0.00	0.00	0.00	0.00	0.00	4.9
9.8~10.0	0.00	0.00	0.00	0.00	0.00	5.0

周波数帯	港内					周波数
	0~0.5m	0.5~1.0m	1.0~1.5m	1.5~2.0m	2.0~2.5m	
0.0~0.2	2.00	1.00	1.00	1.00	1.00	0.1
0.2~0.4	2.00	0.00	0.00	0.00	0.00	0.2
0.4~0.6	1.00	1.00	1.00	1.00	1.00	0.3
0.6~0.8	0.00	0.00	0.00	0.00	0.00	0.4
0.8~1.0	0.00	0.00	0.00	0.00	0.00	0.5
1.0~1.2	0.00	0.00	0.00	0.00	0.00	0.6
1.2~1.4	0.00	0.00	0.00	0.00	0.00	0.7
1.4~1.6	0.00	0.00	0.00	0.00	0.00	0.8
1.6~1.8	0.00	0.00	0.00	0.00	0.00	0.9
1.8~2.0	0.00	0.00	0.00	0.00	0.00	1.0
2.0~2.2	0.00	0.00	0.00	0.00	0.00	1.1
2.2~2.4	0.00	0.00	0.00	0.00	0.00	1.2
2.4~2.6	0.00	0.00	0.00	0.00	0.00	1.3
2.6~2.8	0.00	0.00	0.00	0.00	0.00	1.4
2.8~3.0	0.00	0.00	0.00	0.00	0.00	1.5
3.0~3.2	0.00	0.00	0.00	0.00	0.00	1.6
3.2~3.4	0.00	0.00	0.00	0.00	0.00	1.7
3.4~3.6	0.00	0.00	0.00	0.00	0.00	1.8
3.6~3.8	0.00	0.00	0.00	0.00	0.00	1.9
3.8~4.0	0.00	0.00	0.00	0.00	0.00	2.0
4.0~4.2	0.00	0.00	0.00	0.00	0.00	2.1
4.2~4.4	0.00	0.00	0.00	0.00	0.00	2.2
4.4~4.6	0.00	0.00	0.00	0.00	0.00	2.3
4.6~4.8	0.00	0.00	0.00	0.00	0.00	2.4
4.8~5.0	0.00	0.00	0.00	0.00	0.00	2.5
5.0~5.2	0.00	0.00	0.00	0.00	0.00	2.6
5.2~5.4	0.00	0.00	0.00	0.00	0.00	2.7
5.4~5.6	0.00	0.00	0.00	0.00	0.00	2.8
5.6~5.8	0.00	0.00	0.00	0.00	0.00	2.9
5.8~6.0	0.00	0.00	0.00	0.00	0.00	3.0
6.0~6.2	0.00	0.00	0.00	0.00	0.00	3.1
6.2~6.4	0.00	0.00	0.00	0.00	0.00	3.2
6.4~6.6	0.00	0.00	0.00	0.00	0.00	3.3
6.6~6.8	0.00	0.00	0.00	0.00	0.00	3.4
6.8~7.0	0.00	0.00	0.00	0.00	0.00	3.5
7.0~7.2	0.00	0.00	0.00	0.00	0.00	3.6
7.2~7.4	0.00	0.00	0.00	0.00	0.00	3.7
7.4~7.6	0.00	0.00	0.00	0.00	0.00	3.8
7.6~7.8	0.00	0.00	0.00	0.00	0.00	3.9
7.8~8.0	0.00	0.00	0.00	0.00	0.00	4.0
8.0~8.2	0.00	0.00	0.00	0.00	0.00	4.1
8.2~8.4	0.00	0.00	0.00	0.00	0.00	4.2
8.4~8.6	0.00	0.00	0.00	0.00	0.00	4.3
8.6~8.8	0.00	0.00	0.00	0.00	0.00	4.4
8.8~9.0	0.00	0.00	0.00	0.00	0.00	4.5
9.0~9.2	0.00	0.00	0.00	0.00	0.00	4.6
9.2~9.4	0.00	0.00	0.00	0.00	0.00	4.7
9.4~9.6	0.00	0.00	0.00	0.00	0.00	4.8
9.6~9.8	0.00	0.00	0.00	0.00	0.00	4.9
9.8~10.0	0.00	0.00	0.00	0.00	0.00	5.0

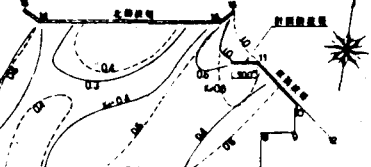


図-2 港内波高分布の現況と計画案

参考文献 1) 西村一男・加藤 寛・井上純一・中村 勇・村田 道:島周辺の波高分布に関する数値シミュレーションと水理模型実験、第27回海岸工学講演会論文集、pp.65～69、1980。